

Projeto e Análise de Algoritmos: Trabalho Prático 1

João Mateus de Freitas Veneroso

Departamento de Ciência da Computação da Universidade Federal
de Minas Gerais

May 17, 2017

Contents

1	Introdução	2
2	Implementação	3
2.1	Problema	3
2.2	Solução	3
3	Experimentos	6
4	Conclusão	9

Introdução

Este relatório descreve a implementação do trabalho prático 1 da disciplina Projeto e Análise de Algoritmos. O trabalho consistiu em modelar um aplicativo de compartilhamento de viagens por meio do uso de grafos. A descrição mais detalhada do problema e do algoritmo utilizado para resolvê-lo será feita na próxima seção.

Implementação

2.1 Problema

Sendo $G = (V, A)$ um grafo onde os vértices $v \in V$ representam rotas e as arestas direcionadas $(v_i, v_j) \in A$ representam possibilidades de compartilhamento, cada aresta possui um benefício associado $B(v_i, v_j) \in \mathbb{R}^*$ e cada rota possui uma capacidade igual ao número de assentos vazios no veículo. Um plano de compartilhamento é um subgrafo $G_p = (V, A_p) : A_p \subseteq A$ que contém todos os vértices e um subconjunto das arestas de G . O somatório dos benefícios de todas as arestas representa o benefício total de um plano de compartilhamento $B_t(G_p) = \sum_{(v_i, v_j) \in A_p} B(v_i, v_j)$. Nosso objetivo é encontrar um plano de compartilhamento $G_p^* = \operatorname{argmax} B_t(G_p)$ sujeito às restrições:

- O número total de passageiros em um veículo não pode exceder a sua capacidade.
- Um passageiro só pode pegar carona em uma rota. Ou seja, $\forall (v_i, v_j) \in A_p$ não existe $k \neq j$ tal que $(v_i, v_k) \in A_p$.
- Um motorista não pode ser também passageiro e vice-versa. Ou seja, $\forall (v_i, v_j) \in A_p$ não existe k tal que $(v_j, v_k) \in A_p$.

2.2 Solução

O plano de compartilhamento de benefício máximo G_p^* é um subgrafo de G em que todos os vértices são mantidos, mas cujas arestas são um subconjunto das arestas de G . Dessa forma, uma solução para o problema é construir todas as combinações possíveis G_p , conferir sua validade de acordo com as restrições descritas na subseção anterior e finalmente calcular o benefício total. Após calcularem-se todas as configurações possíveis, escolhe-se aquela com o maior benefício dentre as possibilidades e assim obtemos G_p^* .

O algoritmo 1 descreve esta abordagem. Primeiro inicializa-se o benefício máximo b^* com um valor negativo, dessa forma qualquer configuração válida vai proporcionar um benefício maior. A partir daí, no loop das linhas 5-10, para cada configuração válida, calcula-se o benefício total e atualiza-se o valor de b^*

se este benefício for maior do que qualquer um encontrado até então. Além disso, a variável G_p^* guarda a configuração que proporcionou o maior benefício. Ao final do algoritmo, b^* guarda o valor do benefício máximo para o grafo G e G_p^* guarda a configuração que proporcionou este benefício.

A complexidade deste algoritmo depende do número de configurações G_p diferentes e do custo da função *ConstraintsAreValid*. O número de configurações G_p diferentes é 2^m para m igual ao número de arestas no grafo G . Pois, cada aresta pode estar presente ou não em G_p e nós queremos as combinações possíveis para todas as arestas m . O custo da função *ConstraintsAreValid* depende do número de arestas, pois, para cada aresta (u, v) , temos de verificar se ela é a única aresta que sai do vértice u , se o vértice v é um motorista e se v possui espaço para acomodar todos os passageiros de u . Como todas estas operações tem custo constante, a função *ConstraintsAreValid* tem custo $O(m)$. Por último, a linha 7 calcula a soma dos pesos de todas as arestas também com custo $O(m)$. Logo, a complexidade total do algoritmo é $2m2^m$ e o algoritmo é $O(m2^m)$.

Algorithm 1 MaximizeBenefit

```

1: procedure MAXIMIZEBENEFIT( $G = (V, A)$ )
2:    $b^* \leftarrow -1$ 
3:    $G_p^* \leftarrow \emptyset$ 
4:
5:   for all  $G_p = (V, A_p) : A_p \subseteq G.A$  do
6:     if ConstraintsAreValid( $G_p$ ) then
7:        $b \leftarrow \sum_{(v_i, v_j) \in A_p} B(v_i, v_j)$ 
8:       if  $b > b^*$  then
9:          $b^* \leftarrow b$ 
10:         $G_p^* \leftarrow G_p$ 
11:
```

Uma melhora ainda pode ser alcançada se deixarmos de testar parte das configurações inválidas de G . Sabemos que um passageiro só pode pegar carona em uma rota, portanto, qualquer combinação G_p onde existirem arestas $(u, v_i), (u, v_j) : i \neq j$ é inválida. Dessa forma, basta manter uma única aresta ativa por vez na lista de adjacência de cada vértice. Por exemplo, na figura 2.1 apenas duas combinações precisam ser testadas: $G_0(V, A_0) : A_0 = \{(X, Y)\}$ e $G_1(V, A_1) : A_1 = \{(X, Z)\}$.

Além disso, é necessário lembrar que um vértice pode representar um motorista sem passageiros ou um passageiro que não vai pegar carona com ninguém, portanto, o número total de combinações se torna $\sum_{v \in V} G \rightarrow Adj(v) + 2$ e, no pior caso (um grafo completo), o número de combinações se torna $O(n^n)$ onde n é o número de vértices no grafo G . Feitas estas considerações, a complexidade assintótica do algoritmo é $O(mn^n)$. O algoritmo implementado em Python para este trabalho utiliza este método.

A complexidade de espaço do algoritmo original e da versão aprimorada é

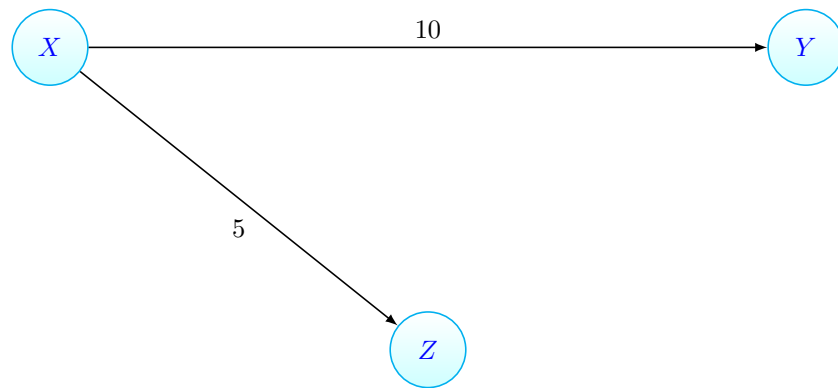


Figure 2.1: Grafo 1

$O(n + m)$, pois o grafo é armazenado na forma de listas de adjacência.

Experimentos

Um experimento foi conduzido para verificar a complexidade assintótica do algoritmo descrito na última seção. Para tanto, foram gerados grafos aleatórios com a quantidade de vértices variando entre 1 e 15 e a quantidade de arestas variando também entre 1 e 15. Observe que, por exemplo, um grafo com dois vértices pode ter no máximo duas arestas, nesses casos, o número de arestas descrito nos experimentos serve como um limite superior para o número de arestas total do grafo. O gráfico 3.1 mostra como o tempo de execução (mensurado em milisegundos) variou com mudanças tanto no número de arestas m como no número de vértices n . É possível observar que a medida que os valores de m e n crescem, o tempo de execução cresce de forma exponencial. O gráfico 3.2 é um corte do gráfico tridimensional que mantém m fixo com o valor de 15 arestas e varia n . O gráfico 3.3 é um corte do gráfico tridimensional que varia m e mantém o valor de n fixo em 15 vértices. É possível observar nestes cortes que a complexidade cresce de forma semilinear em m e claramente exponencial em n , como previsto pela função de complexidade assintótica.

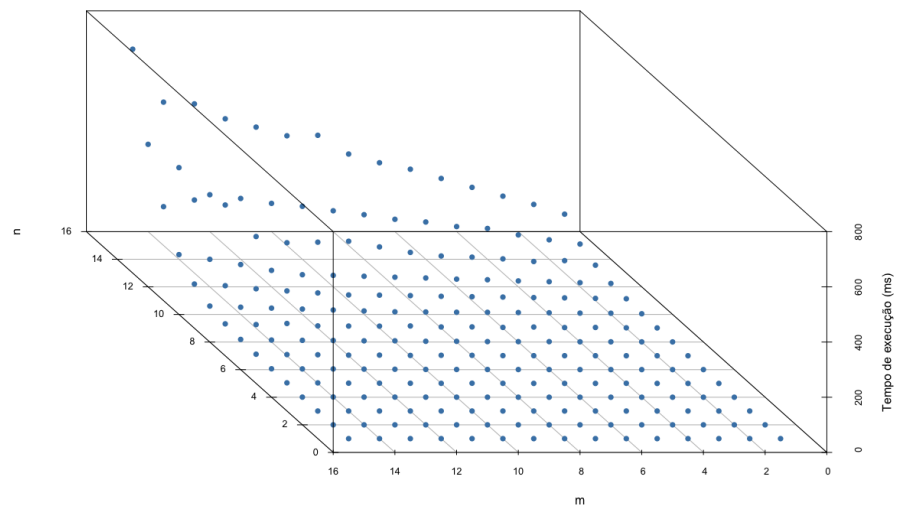


Figure 3.1: Tempo de execução variando n e m

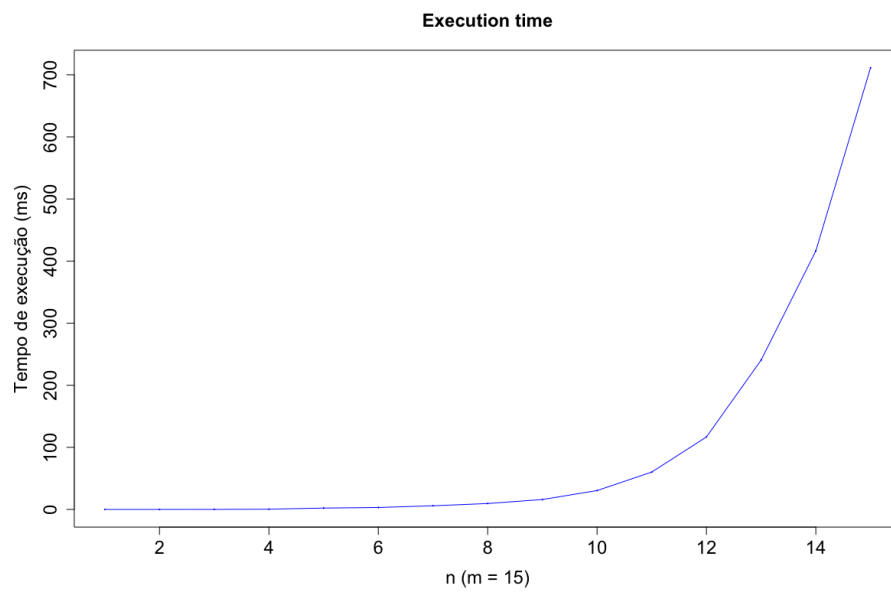


Figure 3.2: Tempo de execução variando n

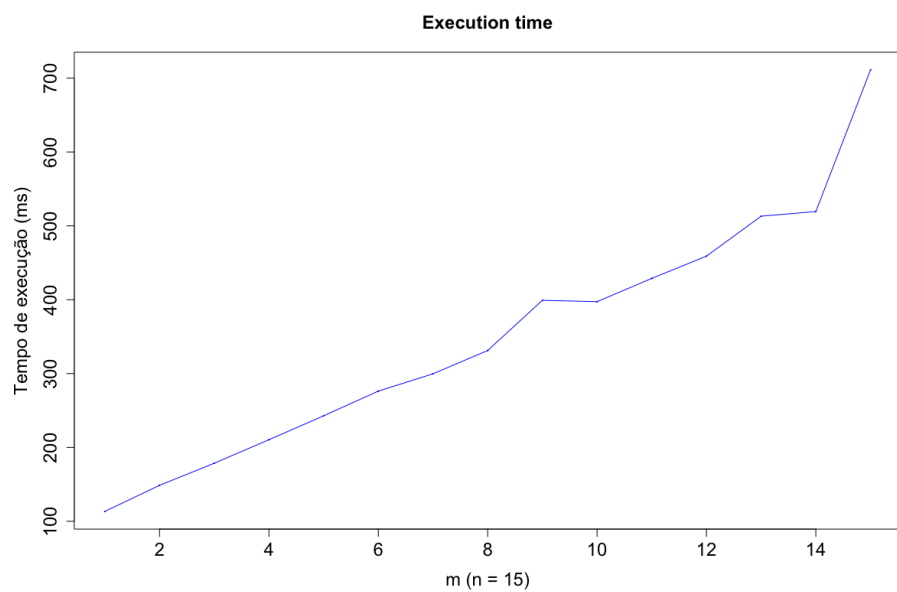


Figure 3.3: Tempo de execução variando m

Conclusão

Este relatório descreveu a implementação do Trabalho Prático 1 da disciplina Projeto e Análise de Algoritmos. A complexidade final alcançada foi $O(mn^n)$ e os resultados experimentais se mostraram coerentes com as expectativas teóricas.